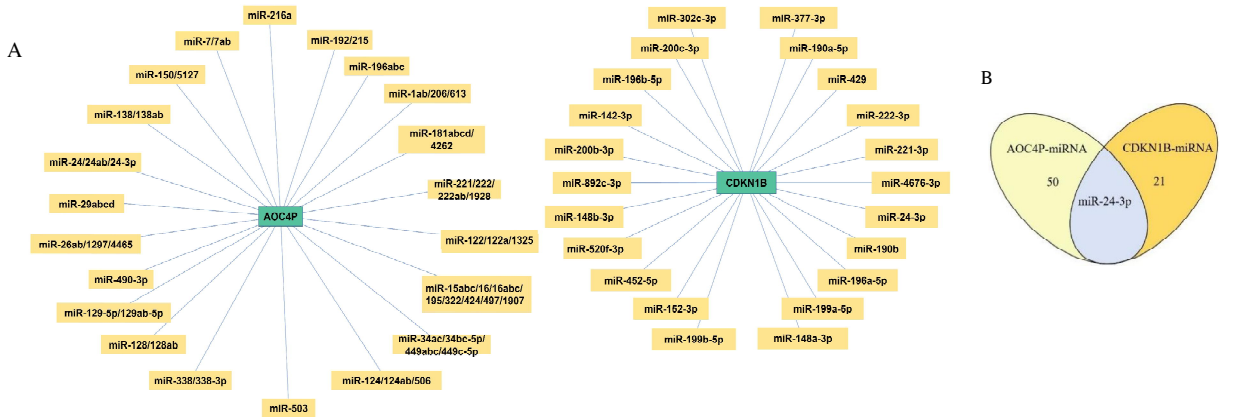


注: A 示卵巢癌组织和正常组织中 CDKN1B mRNA 的表达差异, 纵坐标为 CDKN1B 基因表达量 TPM 标准化后取对数值 $\log_2(\text{TPM}+1)$; B 示不同病理分期的卵巢癌组织中 CDKN1B mRNA 的表达水平变化, 纵坐标为 CDKN1B 表达的 $\log_2(\text{TPM}+1)$; C 示 AOC4P 沉默后卵巢癌细胞系 HEY 和 HO8910 中 CDKN1B 蛋白水平的表达变化。与对照组相比, $aP < 0.05$

图 1 CDKN1B 在卵巢癌组织及细胞系中的表达



注: A 示 AOC4P-miRNA, CDKN1B-miRNA 调控网络图, 绿色节点为 AOC4P、CDKN1B, 黄色节点代表 miRNAs; B 示 AOC4P 和 CDKN1B 可能结合的 miRNA 交集韦恩图

图 2 AOC4P 沉默后 HEY 细胞中 AOC4P-miRNA-CDKN1B 调控网络



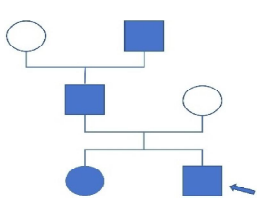
注: 双手大拇指指甲缺失, 少数残留甲板透明萎缩
图 3 患儿拇指指甲及脚趾指甲表现



注: 双膝 X 线片显示双侧髌骨缺失
图 4 患儿双膝 X 线片



注: 双侧髌骨区三角形骨样密度影
图 5 骨盆正位 X 线片



注: NPS 为指甲-髌骨综合征
图 6 NPS 患儿的家族遗传情况 (箭头为先证者)

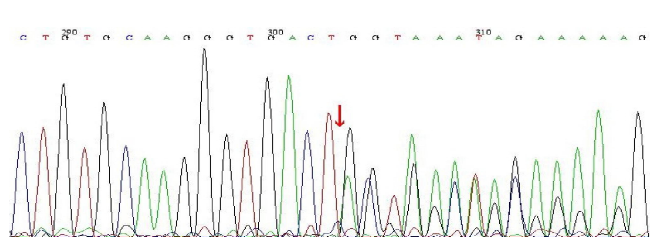


图 7 患儿 LMX1B 基因测序结果 (箭头示变异位置)